



طراحی پایدارساز برای سیستم‌های قدرت جهت بهبودی پایداری شبکه به منظور افزایش ضریب اطمینان در سیستم‌های قدرت

ابوالفضل رضایی فرد^{۱*}، حجت حاتمی^۲، میثم فرخی فر^۳

۱- دانشجو، کارشناسی ارشد برق، دانشگاه آزاد اسلامی هریس

۲- استادیار برق، موسسه آموزش عالی سراج تبریز

۳- استادیار برق ، دانشگاه آزاد اسلامی هریس

*a.rezai1358@gmail.com

ارسال: اسفند ماه ۹۵ پذیرش: اردیبهشت ماه ۹۶

خلاصه

امروزه گسترش شبکه و افزایش اتصالات بین ناحیه‌ای جهت پاسخگویی به تقاضای انرژی باعث بوجود آمدن نوساناتی با فرکانس کم در سیستم قدرت می‌باشد این نوسانات در صورت میرا شدن قابلیت بازدهی خطوط انتقال شبکه را کاهش داده و گاهی اوقات باعث خارج شدن سیستم قدرت از حالت سنکرون و حتی فروپاشی کل سیستم می‌گردد. برای مقابله با برخی پدیده‌های ناخواسته دینامیکی عموماً از سیستم‌های کنترلی استفاده می‌کنند برای این منظور سیستم کنترلی در نیروگاه‌ها مثل گاوونر و سیستم کنترلی در شبکه‌های قدرت مثل پایدارسازی سیستم قدرت معرفی و وارد نیروگاه‌ها شده‌اند. پایدارساز سیستم قدرت به عنوان یکی از ارزان‌ترین روش‌های بهبود پایدار دینامیکی سیستم قدرت وسیله‌ای است که حلقه‌های کنترلی تکمیلی را برای سیستم تنظیم کننده خود کار و لذت‌فرآهم ساخته و بر عملکرد دینامیکی سیستم قدرت با میرا کردن نوسان‌های آن تأثیر مطلوب می‌گذارد. عملکرد اصلی پایدارساز سیستم قدرت تولید گشتوار مناسب روی روتور ماشین بوده بطوری که پس فازی میان ورودی تحریک و گشتوار الکتریکی جبران شود. سیگنال خروجی پایدارساز متناسب با سرعت روتور است. در این پژوهش ابتدا به معرفی مدل دینامیکی شبکه قدرت تک ماشینه متصل به شین بی نهایت SMIB پرداخته شده است در نتیجه پژوهش مشخص گردید برای از بین بردن نوسانات در سیستم پایدار که در خط انتقال رخ می‌دهد پایدارساز سیستم قدرت PSS مورد استفاده قرار داده می‌شود. در نتیجه با طراحی و شیوه سازی پارامترهای PSS توسط الگوریتم فازی شبکه‌های تک ماشینه انجام می‌گیرد.

کلمات کلیدی: شبکه تک ماشینه متصل به شین بی نهایت (SMIB)، پایدارساز سیستم قدرت (PSS)، الگوریتم فازی.

۱. مقدمه

با افزایش تقاضای انرژی و با توجه به این مساله که احداث خطوط انتقال جدید دارای هزینه بالایی می‌باشد، واحدهای تولیدکننده انرژی مجبور به تقویت واحدهای تولیدی موجود و استفاده از خطوط انتقال تا نزدیکی حد پایداری حرارتی می-

باشد. این در حالی است که پایداری سیستم قدرت باید تحت هر شرایطی برقرار باشد [۱]. پایداری سیستم های قدرت یکی از موارد مهم در عملکرد سیستم های الکتریکی بوده و بایستی سیستم های کنترلی اندازه فرکانس و ولتاژ را تحت هر اغتشاشی از قبیل افزایش ناگهانی بار، خارج شدن یک ژنراتور از مدار یا قطع شدن یک خط انتقال در سطوح ثابتی حفظ کنند. توسعه سیستم های قدرت بزرگ و اتصال آنها به هم باعث ایجاد نوساناتی با فرکانس خیلی پایین در محدوده ۰.۲ تا ۳ هرتز می شود. این نوسانات به مدت طولانی در سیستم ادامه داشته و در بسیاری از موارد اگر میرایی کافی ایجاد نشود دامنه آنها افزایش یافته و باعث جداسازی و ناپایداری سیستم می شوند. نوسانات فرکانس پایین پدیده ای است که پایداری دینامیکی سیستم های قدرت را تهدید می کند. یک راه حل برای بهبود پایداری دینامیکی شبکه و افزایش میرایی اضافه کردن خطوط انتقال موازی برای کاهش مقاومت القایی بین مولد و شبکه است. علاوه بر این شبکه هایی که خطوط انتقال ضعیف هم دارن، به دنبال ناپایداری گذرا ممکن است مواجه با ناپایداری دینامیکی شوند به نحوی که در شبکه های قدرت بهم پیوسته امروزه ماشینی که در اولین نوسان پایدار گذرا بوده، تضمینی برای برگشت آن به نقطه کار حالت دائمی وجود ندارد [۲] بدین معنی است که نوسانات فرکانس پایین ممکن است به دنبال بروز اتصال کوتاه در شبکه و خارج شدن بعضی از خطوط که ماشین را به سیستم وصل می کنند، نیز رخ دهد. در صورتی که این نوسانات میرا نشوند، باعث جدا شدن ماشین از شبکه می گردد. در صورتی که یکی از خطوط در اثر بروز اتصال کوتاه قطع شود سیستم انتقال ضعیف تراز حالت قبل شده و سیستم دچار ناپایداری دینامیکی می شود [۸,۶].

یک سیستم قدرت، سیستمی کاملاً غیر خطی می باشد که در صورت استفاده از روش های خطی برای یافتن مقادیر بهینه پارامترهای پایدارسازها، دقت محاسبات به شدت پایین خواهد آمد در نتیجه بایستی از روش های غیر خطی برای محاسبه مقادیر بهینه پایدارسازها استفاده کرد. اما استفاده از روش های غیر خطی به دلیل پیچیدگی بالای سیستم و تعدد پارامترهایی که بایستی تعیین شوند، مناسب برای اینکار نمی باشند. پس بایستی از روش های احتمالی و الگوریتمهای تکاملی استفاده نمود در این مقاله، به تحلیل خطی سیستم های قدرت تک ماشینه متصل به شین بی نهایت که برای مطالعه پایداری حالت ماندگار و پایداری ولتاژ مورد نیاز است، پرداخته می شود. در موارد متعددی، ناپایداری و سر انجام از بین رفتان سنکرونیزم با به وجود آمدن اغتشاشات در سیستم شروع می شود که منجر به رفتار نوسانی شده و در صورتی که این نوسانات میرا نشوند، نهایتاً تقویت می شوند [۷,۹] این مسئله مقدار زیادی به شرایط کار سیستم وابسته است. حتی نوسانات با فرکانس های پایین در صورتی که میرا نشوند، به دلیل آن که باعث محدودیت انتقال توان در خطوط انتقال می شوند و در مواردی موجب وارد شدن فشار بر محور مکانیکی می گردد، نامطلوب هستند. منشأ ایجاد نوسانات بین ناحیه ای مشکل است. هدف از این تحقیق شیوه سازی سیستم و طراحی پایدارساز، با استفاده از برنامه الگوریتم فازی در محیط مطلب می باشد.

۲. روش تحقیق

در حالت ماندگار تعادل بین گشتاورهای مکانیکی ورودی و گشتاور الکتریکی خروجی در ژنراتور وجود دارد و سرعت روتور ژنراتور ثابت باقی می ماند. اگر سیستم دستخوش تغییرات شود یا به عبارت دیگر در معرض اختلالی قرار گیرد، این تعادل از بین می رود و در نتیجه روتور ماشین ها بر اساس قوانین حرکتی اجسام دوران، شتاب مثبت یا منفی پیدا می کند [۹]. اگر بطور لحظه ای ژنراتوری نسبت به ژنراتور دیگر سریعتر بچرخد، موقعیت زاویه ای روتور آن نسبت به ماشین کنترلر، جلوتر قرار می گیرد. رابطه توان زاویه به شکل سینوس می باشد این موضوع سبب می شود که بالاتر از حد مشخصی، افزایش در اختلاف زاویه باعث کاهش در توان مبادله شده گردد و از این رو اختلاف زاویه باز هم بیشتر می شود و این امر منجر به ناپایداری سیستم می گردد [۳]. پدیده نوسانات با فرکانس کم در این میان از اهمیت ویژه ای برخوردار است و در بحث پایداری دینامیکی

سیستم های قدرت مورد توجه قرار می گیرد. بروز اختشاش های مختلف در شبکه، انحراف سیستم از نقطه تعادل پایدار را به دنبال دارد، در چنین وضعیتی به شرط اینکه سنکرونیزم شبکه از دست نرود، سیستم با نوسانات فرکانس کم به نقطه تعادل جدید نزدیک می شود. هنگامی که یک ژنراتور به تنها یک کار می کند، نوسانات با فرکانس کم به دلیل میرایی ذاتی به شکل نسبتاً قابل قبولی میرا می شوند. اما کاربرد برخی از المان ها مانند تحریک کننده های سریع، با اثر دینامیک قسمت های مختلف شبکه ممکن است باعث تزریق میرایی منفی به شبکه شود، به طوریکه نوسانات فرکانس کم شبکه به شکل مطلوبی میرا نشده و یا حتی از میرایی منفی برخوردار شوند. بدیهی است افزایش میرایی مودهای الکترومکانیکی سیستم در چنین وضعیتی می تواند به عنوان یک راه حل مورد استفاده قرار گیرد. بر این اساس پایدار کننده های سیستم قدرت (PSS) بر اساس مدل تک ماشین شین بینهایت طراحی شده و در محدوده وسیعی به کار گرفته می شوند. شبکه هایی که ساختار طول زیاد دارند احتمال بروز نوسانات الکترومکانیکی در آن زیاد است.

۱۰.۲ ماشین سنکرون

یک ماشین سنکرون با تقریب خوب به کمک سه سیم پیچ استاتور و سه سیم پیچی بر روی روتور (سیم پیچ میدان و دو سیم پیچ دمپر) مدلسازی می شود. معادلات دینامیکی توصیف کننده رفتار ماشین شامل معادلات الکترومغناطیسی بین پیچ ها و معادله الکترومکانیکی حاکم بر دینامیک روتور می باشد. جهت دستیابی به مدلی با حداقل مرتبه از پدیده های کم اهمیت در نوسانات با فرکانس کم صرف نظر می شود. مهمترین این پدیده ها عبارتند از:

۱) در حین نوسانات با فرکانس کم جریان القاء شده در سیم پیچی های دمپر ناچیز است بنابراین از این سیم پیچی ها در مدلسازی صرف نظر می شود.

۲) چون مقادیر پایدار متناظر با معادلات سیم پیچ های d و q (معادل سیم پیچ های استاتور) به اندازه کافی از محور موهومی دور می باشند؛ این معادلات به شکل جبری در نظر گرفته می شوند [۱۱].

ژنراتورهای سنکرون در نیروگاه های بزرگ مورد استفاده قرار می گیرند دلیل استفاده از این ژنراتور هم به این جهت می باشد که این نوع از ژنراتورها می توانند سطح ولتاژ و فرکانس شبکه را کنترل نمایند اگر میزان توانی که از توربین برای تغذیه ژنراتور سنکرون بالا باشد. فرکانس شبکه نیز افزایش می یابد و بالعکس اگر توان ورودی کم باشد فرکانس شبکه نیز کاهش می یابد لذا به این طریق می توان فرکانس شبکه را کنترل نمود ولتاژ نیز به وسیله اعمال تغییرات روی جریان ژنراتور کنترل می شود تغییرات جریان ژنراتور می تواند توان راکتیو شبکه را کنترل کند و به وسیله کنترل سطح توان راکتیو، سطح ولتاژ شبکه را کنترل نمود [۵].

نیروگاه های کوچک اگر بخواهد بدون اتصال به شبکه به صورت مستقل کار کنند، در این صورت می توان از ژنراتورهای سنکرون برای این نوع نیروگاه ها استفاده کرد. یک ژنراتور سنکرون در زمان اتصال کوتاه برای مدت زمان نسبتاً طولانی، جریان خطای بزرگی را ایجاد می کند. ژنراتورهای سنکرون از آنجایی که تحریکشان وابسته به شبکه نیست. می توانند به صورت مجزا از شبکه کار کنند و تولید توان نمایند. برای ژنراتور سنکرون مدل های مختلفی ارائه شده است که از میان آنها دو مدل مرتبه ۲ و ۳ معمول می باشند. تفاوت میان این دو مدل، در نظر گرفتن سیم پیچ تحریک و معادلات دیفرانسیلی مربوط به سیستم تحریک می باشد، که در مدل مرتبه سوم منظور گردیده است [۵].

پایه و اساس تمام نوسانات در سیستم‌های قدرت، ماشین سنکرون (قلب تپنده یک سیستم قدرت) است. یک ماشین سنکرون یک سیستم الکترومکانیکی است و از دو قسمت الکتریکی و مکانیکی تشکیل شده است. بخش مکانیکی آن (دینامیک روتور) معمولاً با یک معادله دیفرانسیل درجه دو مدل‌سازی می‌شود. ولی در مدل‌سازی بخش الکتریکی اختلاف نظر زیادی وجود دارد. بسته به دقت لازم برای بخش الکتریکی مدل‌های درجه ۵، ۳، ۱ و صفر در نظر گرفته می‌شوند. تفاوت عمدۀ این مدل‌ها در دقت آن‌هاست؛ مدل دقیق‌تر درجه بالاتری دارد [۲].

در مدل‌سازی بخش الکتریکی ماشین سنکرون، رابطه ولتاژ با جریان و همچنین فلو با جریان در سیم‌پیچی‌های مختلف، معادلات اصلی‌اند. در یک ماشین سنکرون سیم‌پیچ‌های مختلفی وجود دارند. سه سیم‌پیچ مربوط به سه فاز a, b, c تأمین کننده جریان و توان تحریقی به شبکه هستند. روی روتور، سیم‌پیچ میدان تحریک، تأمین کننده فلوی فاصله هوایی، نیز وجود دارد [۵].

۳. منطق فازی

امروزه سیستم فازی و کنترل فازی به صورت گسترده مورد استفاده قرار می‌گیرد و نتایج بسیار سودمندی در برداشته است. با توجه به اینکه سیستم فازی نیاز به مدل‌سازی نیازی ندارد در کنترل سیستم‌های دینامیکی و غیر خطی به طور موثری مورد بهره برداری قرار می‌گیرد [۴].

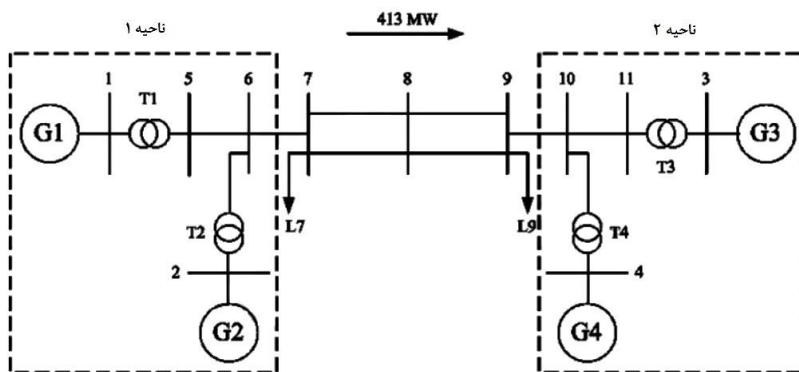
اگرچه سیستم‌های فازی پدیدهای غیر قطعی و ناشخص را توصیف می‌کنند با این حال خود تئوری فازی یک تئوری دقیق می‌باشد. می‌توان گفت مشخصه تئوری فازی ترکیب دانش و تجربه افراد خبره یک رشته یا معادلات ریاضی مختص آن می‌باشد. در سیستم‌های عملی اطلاعات مهم از دو منبع سرچشمۀ می‌گیرند. سیستم‌های فازی را می‌توان عنوان کنترل کننده حلقه باز و یا کنترل کننده حلقه بسته مورد استفاده قرار داد. هنگامی که عنوان کنترل کننده حلقه باز استفاده می‌شود سیستم فازی معمولاً بعضی پارامترهای کنترل را معین کرده و انگاه سیستم مطابق با این پارامترهای کنترل کار می‌کند. بسیاری از کاربردهای سیستم فازی در الکترونیک به این دسته تعلق دارند. هنگامی که سیستم فازی عنوان یک کنترل کننده حلقه بسته استفاده می‌شود در این حالت خروجی‌های فرایند را اندازه گیری کرده و بطور همزمان عملیات کنترل را انجام می‌دهد. کاربرد سیستم فازی در فرایندهای صنعتی به این دسته تعلق دارد. مزیت دوم اینکه این سیستم کنترلی تا حدود بسیار زیادی مستقل از معادلات ریاضی سیستم است [۴].

مزیت سوم که در ارتباط با همان مورد دوم می‌باشد آن است که با توجه به استقلال از معادلات سیستم این سیستم کنترل برای کنترل سیستم‌های با ماهیت غیر خطی بسیار مناسب می‌باشد. مزیت چهارم اینکه تئوری فازی تکیه بسیاری بر تجربیات و دانش فرد خبره سیستم دارد و این امر به تلفیق ریاضیات با تجربیات و دانش سیستم منجر می‌شود. در اینجا هدف طراحی کنترل کننده فازی جهت بهبود عملکرد کنترل کننده‌های کلاسیک سیستم قدرت یعنی کنترل کننده‌های کنترل کننده پایدار ساز سیستم قدرت (PSS) و تنظیم کننده خودکار ولتاژ (AVR) در شرایط بروز خطا در سیستم می‌باشد. کنترل کننده AVR به عنوان یکی از ارزانترین روش‌های بهبود پایداری دینامیکی سیستم قدرت وسیله‌ای است که حلقه‌های کنترلی تکمیلی را برای سیستم کنترلی AVR فراهم ساخته و با میرا کردن نوسان‌های سیستم بر عملکرد دینامیکی سیستم قدرت تاثیر مطلوب می‌گذارد. این روش بسیار سودمندی در تقویت عملکرد پایداری سیگنال کوچک (حالت ماندگار) و پایداری سیگنال بزرگ (گذاری) سیستم است. پایدار ساز سیستم قدرت (pss) با تنظیم کردن میزان تحریک ژنراتور سنکرون، موجب حاشیه پایداری مناسب و بهبود عملکرد کل سیستم در مقابل اغتشاشات واردۀ می‌شود پیشتر کنترل کننده‌های خطی عنوان پایدار ساز سیستم قدرت مورد استفاده قرار می‌گرفت، اما کار کرد این کنترل کننده بواسطه غیر خطی بودن سیستم قدرت و نامعینی در مدل‌سازی آن محدود می‌شود. مشکلی که در استفاده از ساختار فوق وجود دارد مربوط می‌شود به اینکه ترکیب کنترل

کننده های AVR و PSS با توجه به اینکه برای حالت عملکرد عادی سیستم قدرت طراحی شده اند و بهره کنترلی و سایر پارامترهای آنها برای شرایط عملکرد عادی سیستم قدرت تنظیم شده اند، در حالت بروز خطا در سیستم، با توجه به تغییرات دینامیکی سیستم، عملکرد متفاوتی را از خود نشان می دهند و ممکن است در اثر بروز خطا نتوانند سیستم را پایدار نگه دارند و در نتیجه سیستم به سمت ناپایداری پیش برود [۱۰ و ۱۲]. برای رفع این نقیصه از کنترل کننده فازی برای تنظیم مجدد بهره کنترل کننده های مذکور حین وقوع خطا در سیستم استفاده شده است.

۴. نتایج شبیه‌سازی

در این بخش نتایج شبیه سازی به دست آمده بر روی سیستم های مورد مطالعه نمایش و مورد بررسی قرار گرفته است. سیستم های مورد مطالعه در این مقاله سیستمی با ۴ ماشین متصل به بار می باشد.



شکل ۱- سیستم قدرت شبیه‌سازی شده

۱.۴. نحوه محاسبات کنترل کننده فازی

یک سیستم غیر خطی گسسته در زمان با معادلات زیر بیان می شود :

$$X(k+1) = f(x(k), u(k)) \quad (1)$$

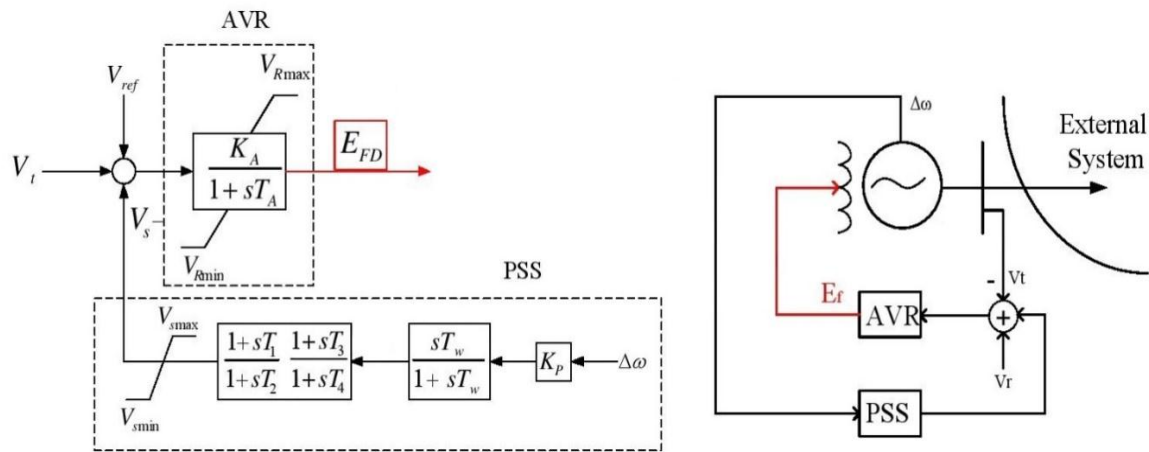
$$Y(k) = g(x(k), u(k)) \quad (2)$$

۵. روابط

که در آن k نشان دهنده زمان و $f(\cdot)$ و $g(\cdot)$ توابع غیر خطی و $u(k)$ ورودی سیستم $y(k)$ خروجی سیستم و $x(k)$ نشان دهنده حالت ها است.

در شناسایی یک سیستم با پارامترهای نامشخص بطوریکه اطلاعات اندکی از این سیستم، از جمله دسته ای از داده ای ورودی خروجی در دسترس باشد اصلی ترین وظیفه ارائه یک مدل ساختاری مناسب خواهد بود، بطوریکه مدل، مشخصات سیستم را تسخیر کند. با بکارگیری کنترل کننده فازی به این هدف دست می یابیم. ابتدا با استی دینامیک سیستم را در حضور کنترل کننده های اصلی بدست آورده شود.

ورودی کنترل کننده PSS تغییرات زاویه روتور ماشین های سنکرون می باشد و خروجی این کنترل کننده در کنار تغییرات ولتاژ ترمیمال ماشین سنکرون (ژنراتور) به عنوان ورودی برای کنترل کننده AVR مورد استفاده قرار می گیرد و در نهایت خروجی کنترل کننده AVR به عنوان خروجی کنترلی به عنوان کنترل کننده تحریک ماشین سنکرون در نظر گرفته می شود. با توجه به رابطه $e - \hat{y} = \hat{y}$ خطا محاسبه می گردد که در این رابطه \hat{y} خروجی سیستم اصلی y خروجی کنترل کننده AVR است.

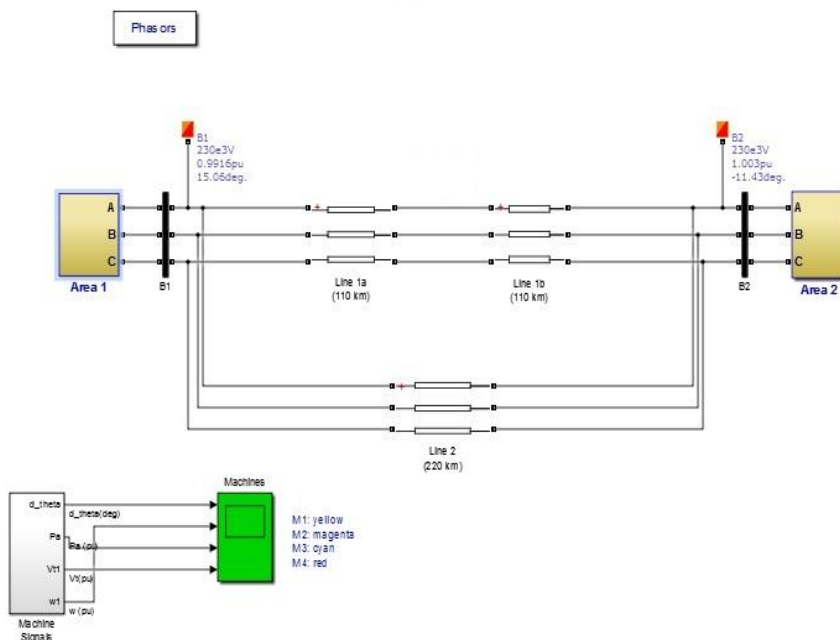


شکل ۲. دینامیک کنترل کننده‌های اصلی و ژنراتور

در حالتی که کنترل کننده فازی نیز به سیستم اضافه می‌شود، نقش تنظیم مقدار بهره دو کنترل کننده اصلی بر عهده این کنترل کننده قرار می‌گیرد. کنترل کننده فازی تغییرات زاویه روتور و تغییرات ولتاژ ترمیnable‌های ژنراتور را به عنوان ورودی پذیرفته و بر اساس این اطلاعات و بوسیله قوانین فازی تعریف شده برای هدف خود، خروجی کنترلی خویش را به دو کنترل کننده اصلی AVR و PSS (Power System Stabilizer) اعمال می‌کند. چنین عملکردی به سیستم این امکان را می‌دهد که در مواجهه با ناپایداری عملکرد بهتری از خود نشان دهد.

۶. اعمال کنترل کننده فازی به سیستم قدرت مورد آزمایش

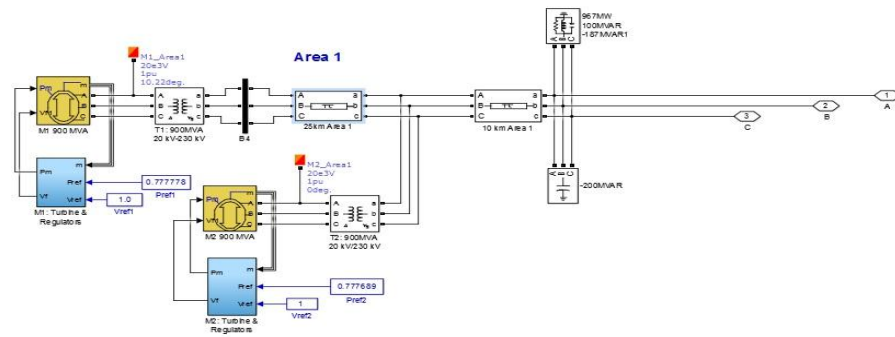
سیستم قدرت مورد بررسی در این مقاله متشکل از ۴ ژنراتور در دو ناحیه بوده و از دو طرف بارهای سیستم را تغذیه می‌کنند. در شکل (۳) بلوک دیاگرام سیستم که در محیط سیمولینک ایجاد شده نمایش داده شده است.



شکل ۳. بلوک دیاگرام سیستم در محیط سیمولینک

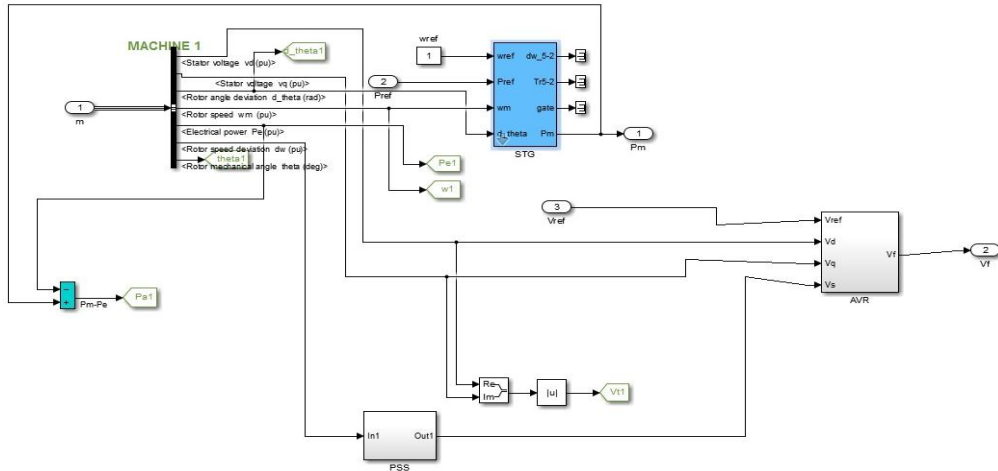
بایوجه به اینکه کنترل کننده‌های اصلی بر روی ژنراتور اعمال شده‌اند پیاده سازی کنترل کننده فازی لایه درونی ناحیه ۱ در شکل (۴) نمایش داده شده است. و در شکل (۵) بلوک کنترل کننده‌های متصل به ژنراتور نمایش داده شده است.

همانطور که مشاهده می‌شود بلوک توربین و کنترل کننده توان الکتریکی، ولتاژ استاتور ژنراتور و زاویه روتور ژنراتور و تغییرات زاویه روتور را به صورت فید بک از ژنراتور می‌گیرد و توان مکانیکی را به آن تحويل می‌دهد.



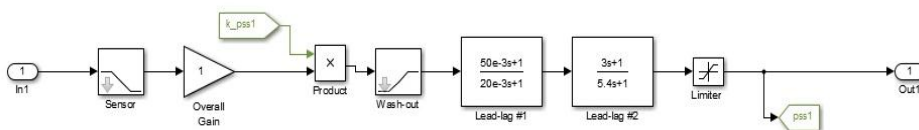
شکل ۴. بلوک دیاگرام ناحیه ۱ سیستم در محیط سیمولینک

در شکل (۴) بلوک های زرد رنگ ژنراتور و بلوک های آبی بلوک توربین و کنترل کننده می‌باشد. شکل (۴) جزئیات کنترل کننده ها و نحوه عملکرد آنها را نمایش می‌دهد.



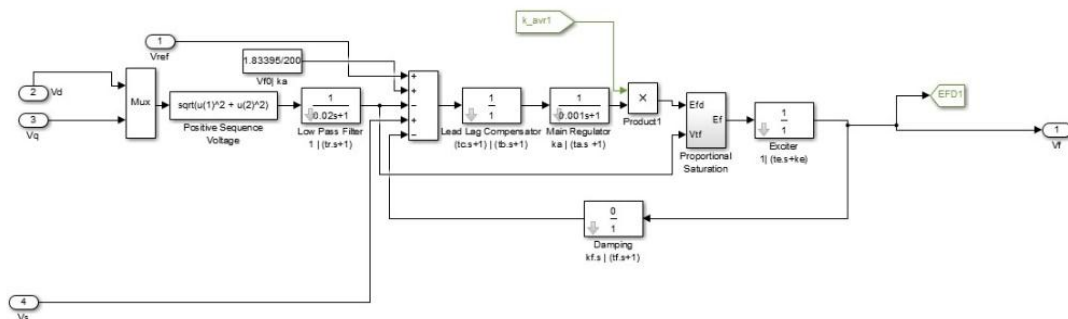
شکل ۵ بلوک دیاگرام توربین و کنترل کننده ها در محیط سیمولینک

همانطور که در شکل (۵) مشاهده می‌شود کنترل کننده PSS تغییرات سرعت روتور ژنراتور را به عنوان ورودی گرفته و خروجی کنترلی خود را به کنترل کننده AVR اعمال می‌کند. کنترل کننده AVR نیز با داشتن ولتاژ مرجع و خروجی کنترل کننده PSS، ولتاژ استاتور ژنراتور را نیز به عنوان ورودی دیگر پذیرفته و خروجی کنترلی خود را که ولتاژ تحریک ژنراتور می‌باشد تولید می‌کند. در این میان نقش کنترل کننده فازی که وظیفه تنظیم کردن و هماهنگ کردن دو کنترل کننده اصلی سیستم را بر عهده دارد به صورت تنظیم بهره این دو کنترل کننده به میان می‌آید. در شکل های (۶) و (۷) بلوک دیاگرام دو کنترل کننده اصلی سیستم و نقش کنترل کننده فازی در تنظیم بهره آنها را نمایش داده شده است.



شکل ۶. بلوک دیاگرام کنترل کننده PSS در محیط سیمولینک

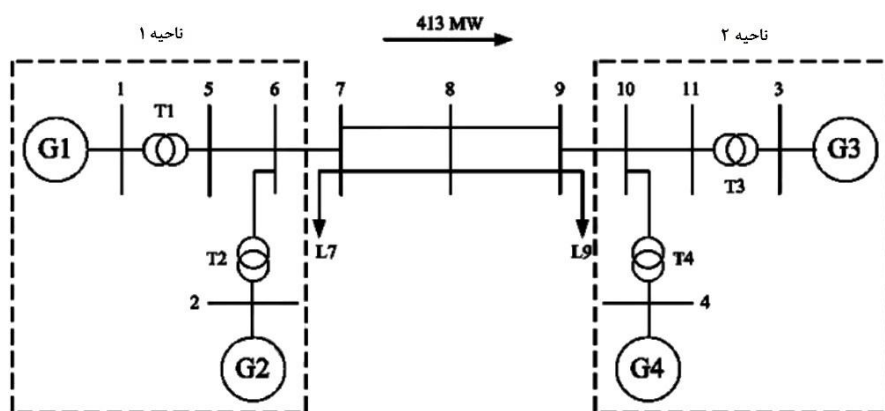
در ساختار هر دو کنترل کننده از خروجی کنترل کننده اصلی برای کنترل کننده فازی فیدبک گرفته شده و اط طرفی خروجی کنترل کننده فازی در بهره کنترل کننده اصلی ضرب شده است.



شکل ۶. بلوک دیاگرام کنترل کننده AVR در محیط سیمولینک

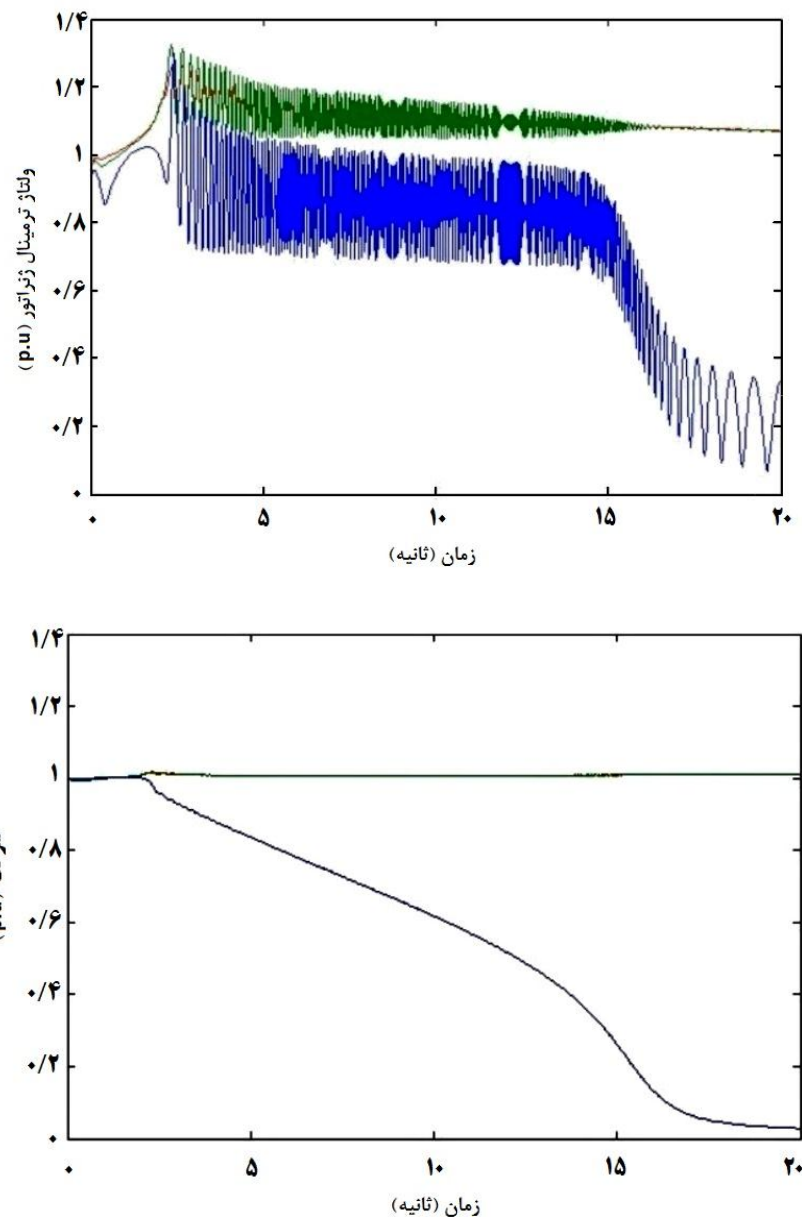
به این ترتیب کنترل ضریب بهره دو کنترل کننده اصلی سیستم توسط کنترل کننده فازی انجام می‌شود.

۱.۶. نتایج شبیه سازی در سیستم قدرت برای میرایی نوسانات فرکانس پایین



شکل ۷. بلوک دیاگرام سیستم مورد آزمایش

سیستم قدرت مطابق شکل (۷) دارای ۲ ناحیه است که هر ناحیه دارای ۲ ژنراتور می‌باشد که بارهای نشان داده شده در شکل را تغذیه می‌کنند. ناحیه ۱ به اندازه ۴۱۳ MW توان به ناحیه ۲ تحویل می‌دهد. خطایی که در سیستم رخ می‌دهد به این صورت است که در ثانیه صفر کلید حفاظتی ژنراتور شماره ۳، این ژنراتور را از خط خارج می‌کند. برای مقایسه عملکرد کنترل کننده فازی یک بار شبیه سازی بدون حضور این کنترل کننده و بار دیگر در حضور این کنترل کننده انجام شده است. نتایج به دست آمده بدون حضور کنترل کننده فازی به شرح زیر می‌باشد.

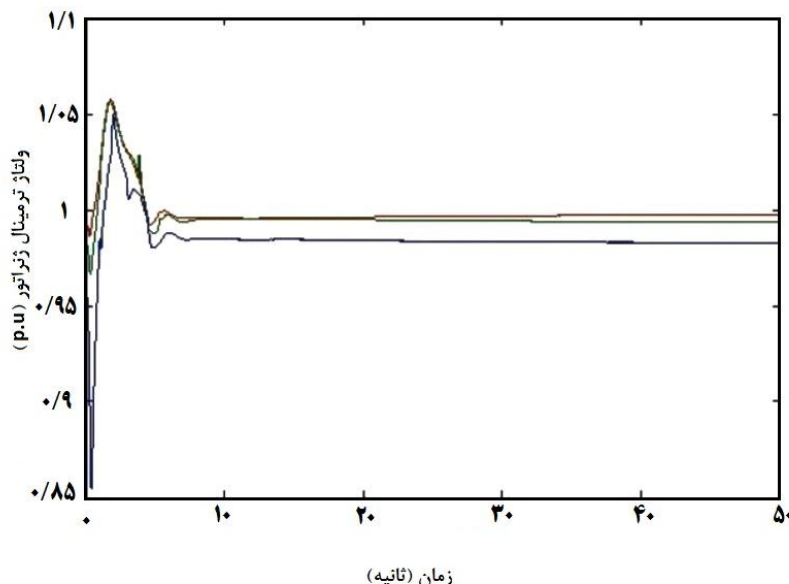


شکل ۸ نتایج شبیه‌سازی بدون کنترل کننده فازی

در شکل (۸) نمودار آبی رنگ تغییرات ولتاژ ترمینال ژنراتور شماره ۴ و شکل های قرمز و سبز رنگ تغییرات ولتاژ ترمینال ژنراتور های شماره ۱ و ۲ را نشان می دهد.

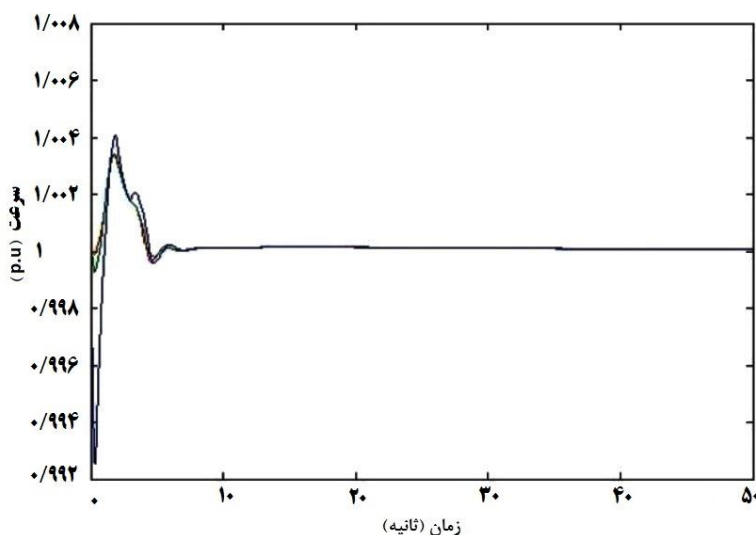
همان طور که مشاهده می شود ژنراتور شماره ۴ بعد از لحظه ناپایداری در ثانیه صفر، دچار نوسان شده و در ثانیه ۱۵ دچار افت شدید می گردد و تا ثانیه ۲۰ فروپاشی ولتاژ ترمینال ژنراتور شماره ۴ به صورت کامل اتفاق می افتد. ولی ژنراتورهای ۱ و ۲ بعد از ۱۵ ثانیه نوسان به نقطه آرامش جدید می رسند. در شکل (۸) نمودار آبی رنگ تغییرات زاویه روتور ژنراتور شماره ۴ و شکل های قرمز و سبز رنگ تغییرات زاویه روتور ژنراتور های شماره ۱ و ۲ را نشان می دهد. مطابق شکل فوق ژنراتور ۱ و ۲ سنکرون می مانند ولی ژنراور ۴ از حالت سنکرون در می آید و سیستم به دو ناحیه جدا تقسیم می شود. بعد از ۲۰ ثانیه ژنراتور ۴ کاملا از سیستم خارج می شود و سرعت آن به صفر می رسد.

۲.۶. نتایج شبیه سازی در حضور کنترل کننده فازی



شکل ۹. نتایج شبیه سازی در حضور کنترل کننده فازی

شکل (۹) نمودار ولتاژ ترمینال ژنراتور را پس از وقوع خطا در لحظه صفر نشان می دهد. همانطوری که در شکل مشاهده می شود هر سه ژنراتور در لحظه صفر یک اورشوت را تجربه می کنند اما کنترل کننده فازی موفق به کنترل این اختشاش می شود، به طوری که برخلاف حالت قبلی (بدون فازی) نه تنها سطح ولتاژ ژنراتور $\frac{4}{4}$ ناپایدار نشده است، بلکه با افت حدود ۲ درصدی به حالت آرامش باز می گردد. دو ژنراتور دیگر به مانند حالت قبل پس از دوره گذرا عملکرد مطلوب خود را حفظ می کنند.

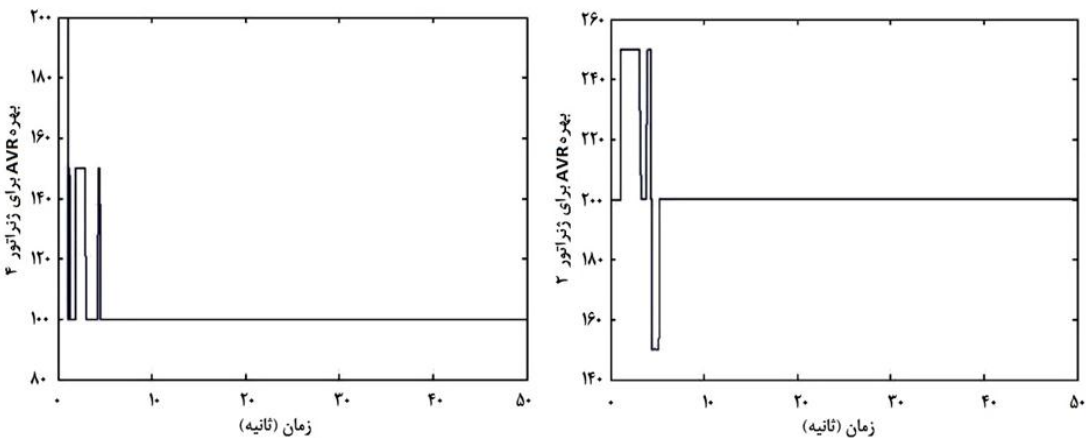


شکل ۱۰. نتایج شبیه سازی در حضور کنترل کننده فازی

شکل (۱۰) نمودار سرعت زاویه روتور ژنراتور را پس از وقوع خطا در لحظه صفر نشان می دهد. همان طور که مشاهده می شود سیستم برای هر سه ژنراتور یک اورشوت را در چند ثانیه اول تجربه می کند و سپس به نقطه آرامش باز می گردد. لذا هر سه ژنراتور در حالت سنکرون باقی می مانند.

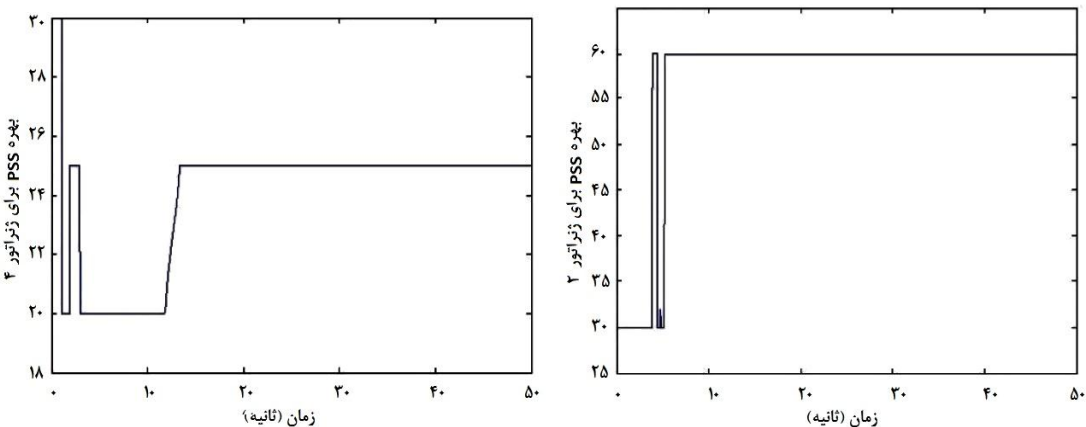
۳.۶ عملکرد کنترل کننده فازی

عملکرد مورد انتظار از کنترل کننده فازی تغییر بهره دو کنترل کننده AVR و PSS بود که مطابق نتایج بدست آمده دیدیم که بسیار مطلوب بود. در شکل (۱۱) عملکرد کنترل کننده فازی در تغییر بهره کنترل کننده AVR برای دو ژنراتور ۲ و ۴ مقایسه شده است.



شکل ۱۱. عملکرد کنترل کننده فازی

همان طور که در شکل (۱۱) مشاهده می شود برای ژنراتور شماره ۴ در لحظه وقوع خطا بهره از ۲۰۰ به ۱۰۰ رسیده و در این مقدار ثابت شده است (کاهش بهره). ولی برای ژنراتور شماره ۲ بعد از دوره گذرای ناپایداری، بهره کنترل کننده به مقدار قبلی خود یعنی ۲۰۰ بر می گردد. در مقابل کنترل کننده PSS را داریم که در شکل (۱۲) عملکرد کنترل کننده فازی را نسبت به این کنترل کننده نمایش داده ایم.



شکل ۱۲. عملکرد کنترل کننده فازی

همان طور که در شکل (۱۲) مشاهده می شود کنترل کننده فازی، برای ژنراتور شماره ۴ بهره کنترل کننده PSS را در لحظه اول از ۳۰ به ۲۰ کاهش داده و سپس با اندکی افزایش در مقدار ۲۵ ثابت می نماید. اما در مقابل برای ژنراتور شماره ۲ بهره کنترل کننده PSS را از مقدار اولیه ۳۰ به ۶۰ افزایش داده و در همین مقدار ثابت می کند.

۷. نتیجه‌گیری

در اولین قسمت این بخش نتایج شبیه سازی PSS بر روی سیستم قدرت مورد که متشکل از ۴ ژنراتور، خط انتقال و تعدادی مصرف کننده بود مورد بررسی قرار گرفت. نشان داده شد که کنترل کننده های طراحی شده بر مبنای AVR و PSS در شرایط

کار عادی سیستم به خوبی پایداری سیستم را افزایش داده و میرایی لازم را برای سیستم تامین می‌کنند. اما در شرایط خاصی از رخ دادن خطأ (خروج یک ژنراتور بزرگ از سیستم قدرت) نتوانستند پایداری کل سیستم را حفظ کنند و در نتیجه یکی از ژنراتورها (ژنراتور شماره ۴) از سیستم خارج شده و در یک ناحیه سیستم شاهد خاموشی بودیم. اما با ورود کنترل کننده فازی در نقش تنظیم کننده مجدد ضرایب بهره کنترل کننده های اصلی سیستم قدرت به وضوح مشاهده کردیم که در هنگام رخ دادن خطأ، کنترل کننده فازی به خوبی عمل کرده و با بهبود عملکرد کنترل کننده های اصلی سیستم قدرت، سیستم را به نقطه پایدار جدیدی رهنمون کرده و مانع از ناپایداری سیستم قدرت و فروپاشی ولتاژ در شبکه شد. در این مقاله قصد بهینه ساختن پارامترهای پایدار ساز سیستم قدرت (PSS) و تنظیم کننده خودکار ولتاژ (AVR) در سیستم قدرت مورد آزمایش در لحظه وقوع خطأ را با استفاده از کنترل کننده فازی را داریم، تا بتوانیم توانی ثابت و بدون نوسان و با قابلیت اطمینان بالا انتقال دهیم. پس برای تحقیق این امر توابع هدف بصورت غیر خطی در گرفته شد و توابع هدف بصورت غیر خطی، براساس تغییرات مقدار خطای سرعت روتور بدست آورده شد.

با توجه به اهمیت پایدارساز سیستم قدرت در پایداری و بهره‌برداری این از سیستم‌های قدرت تحقیقات وسیعی در این زمینه صورت گرفته و بیش از سه دهه است که توجه محققین زیادی را به خود معطوف ساخته است نظریه‌های کنترل وسیعی با پیشرفت تئوری‌ها کنترلی برای طراحی پایدارساز سیستم قدرت ارائه شده است که می‌توان آنها در نظریه‌های مبتنی بر روش کلاسیک تطبیقی و ساختار متغیر روش‌های هوشمند و روش‌های مقاوم دسته بندی نمود. در این میان الگوریتم‌های بهینه‌سازی هوشمند نظری الگوریتم ژنتیک الگوریتم اجتماع ذرات پرندگان و کنترل فازی و... می‌توان عنوان یک روش در طراحی پارامترهای کنترل کننده پایدارساز سیستم قدرت مطرح باشند. عیب عمدہ الگوریتم ژنتیک مساله کدینگ و کنندی همگرایی آن با افزایش پارامترهای مساله و در نتیجه کاهش سرعت حل مساله مقاوم به عنوان یک مساله است و همچنین عملکرد یک الگوریتم اجتماع ذرات تا حد زیادی بروی پارامترهای آن بستگی دارد و اغلب از مشکل در دام افتادن در نقاط محلی رنج می‌برد که در نتیجه منجر به همگرایی زودرس می‌شود. اما کنترل کننده فازی با فازی سازی سیستم به کمک دانش و تجربه طراح و تا حدود زیادی استقلال از معادلات ریاضی سیستم می‌تواند در بهینه کردن سیستم‌های دینامیکی و غیرخطی بسیار موثر باشد. که در این پایان نامه نتایج به خوبی نشان داد که عمل سیستم کنترل فازی به بهبود عملکرد سیستم کمک شایانی نمود.

۸. مراجع

۱. کراری، مهدی، ۱۳۸۹، "دینامیک و کنترل سیستم‌های قدرت"، دانشگاه صنعتی امیر کبیر.
۲. کریمی حسن آبادی، حامد. شاهقلیان، غضنفر و محمودیان، سید حمید. طراحی پایدارساز سیستم قدرت بر اساس تئوری کنترل لغزشی فازی. اولین کنفرانس ایده نو در مهندسی برق. دانشگاه آزاد واحد خوارسگان. ۱۳۹۱.
۳. سعادت، ه. سال ۱۳۸۵، بررسی سیستمهای قدرت، ترجمه احمد کاظمی، شهرام جدید، محمد علی شایانفر، انتشارات دانشگاه علم و صنعت، جلد اول
۴. شکوهنده، حسن و صدیقراده مصطفی. پایداری سیستم قدرت چند ماشینه با استفاده از پایدارساز PSS3B بهینه شده توسط الگوریتم HBB-BC پیست و هشتمین کنفرانس بین المللی برق. دانشگاه شهید بهشتی. ۲۰۱۴.
5. A. Safari, R. Jahani, M. Hajinasiri, A.H. Araskalaei and H.A. Shayanfar, "COA based coordinated design of FACTS and PSS output feedback controllers", International Review of Electrical Engineering, vol. 21, pp. 2803-2808, 2010.
6. J.H. Holland, "Adaptation in natural and artificial systems", University of Michigan Press, Ann Arbor, US, 1975.
7. J.S. Sarda, V.N. Parmar, D.G. Patel, L.K. Patel, "Genetic algorithm approach for optimal location of FACTS devices to improve system loadability and minimization of losses", IJAREEIE, vol.1, pp.114-125, 2012.

8. K.R. Padiyar, "FACTS Controllers in power Transmission and Distribution", New Age International(P) limited, India, 2007.
9. M.R. Gonzalez and O.P. Malik, "PSS Design using an On Line Adaptive Neuro-Fuzzy Controller with Adaptive Input Link Weights", IEEE Trans. Energy Conversion, Vol. 23, No. 3, pp. 914-922, Sep. 2008.
10. P. Mitra, et al., "Intelligent AVR and PSS with Adaptive Hybrid Learning Algorithm", IEEE Power and Energy Society General Meeting, 20-24 July, pp. 1-7, 2008
11. L Baochun L Baoguo L Yi G Weiguo and L Gang 'Studies of Voltage stability Based on SVC Control 'in Innovative Computing Information and Control '2008 'ICICIC;08,3rd International conference on'2008,pp.124-124.
12. R Sirjani and A Mohamed 'Improved Harmony Search Algorithm for Optimal placement and Sizing of Static Var Compensators in power Systems'in Informatics and Computational Intelligence (ICI),2014 First International Conference on ,2011,pp.295-300.